



Razuvaev Institute of Organometallic Chemistry of RAS



Lobachevsky State University of Nizhny Novgorod, Russia

Новые фотоактивные органические молекулы, содержащие биполярные D-π-A фрагменты, как уникальные неинвазивные сенсоры локальной вязкости и полярности



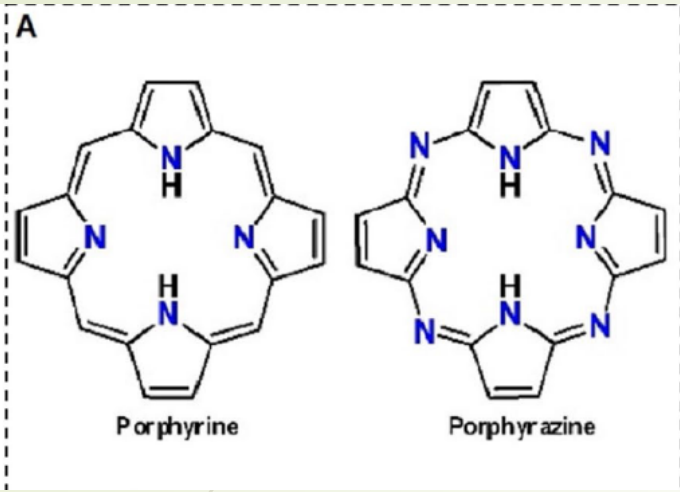
Nizhny Novgorod State Medical Academy, Russia



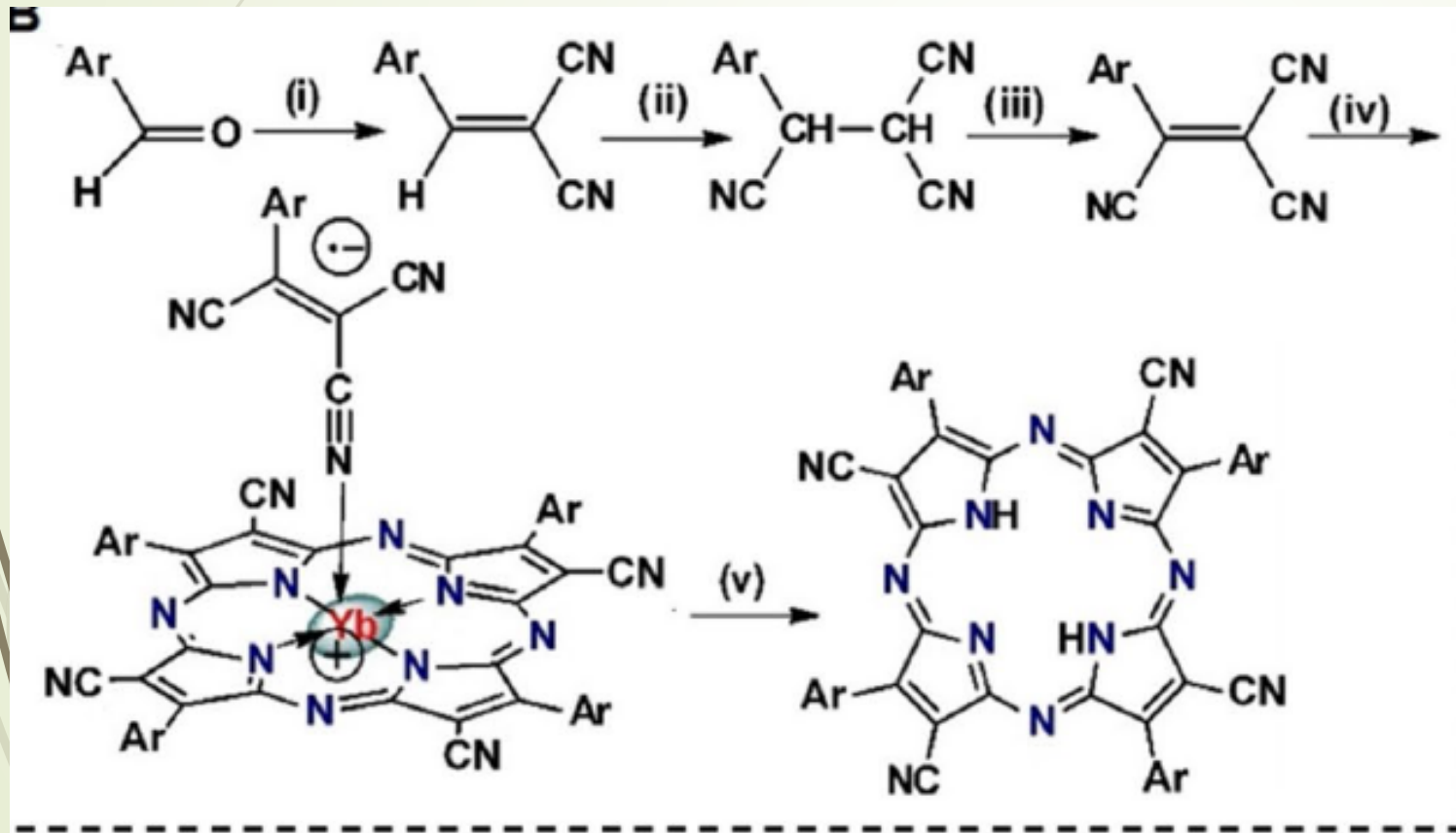
Imperial College, London, UK




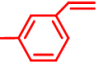
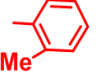
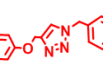
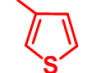
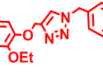
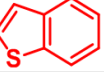
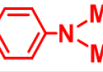
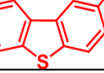
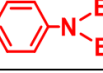
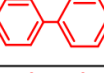
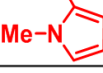
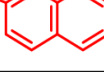
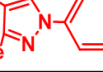

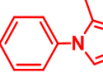
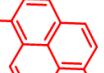
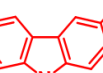
Institute of Applied Physics of RAS

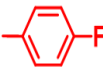
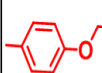
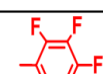
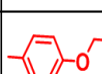
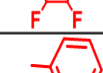
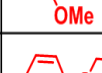
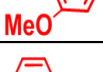
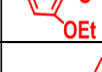

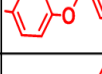
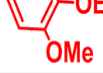
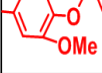
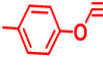
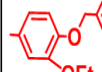
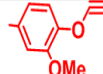
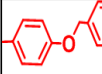


Cyanoaryl porphyrazines synthesis



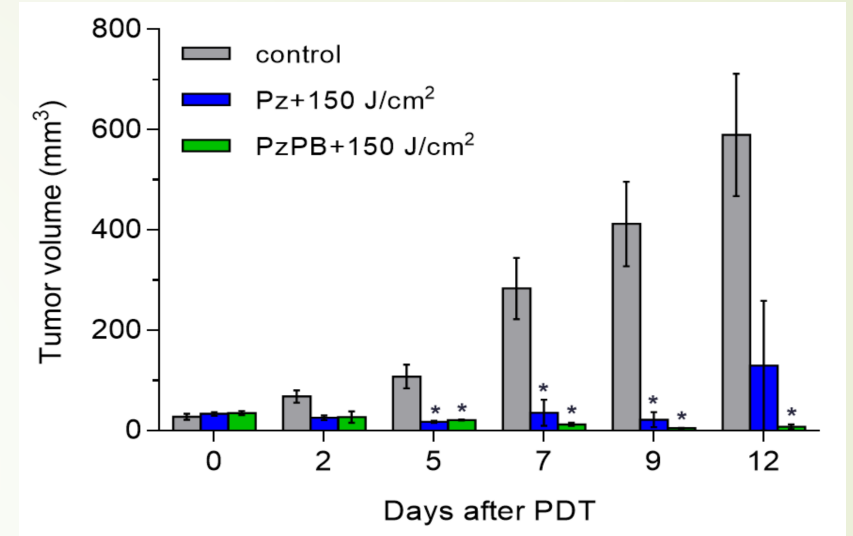
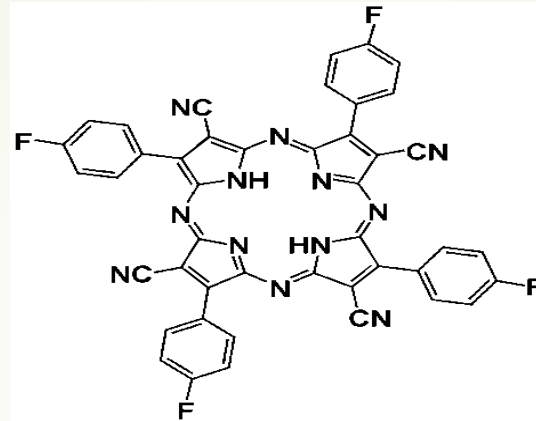
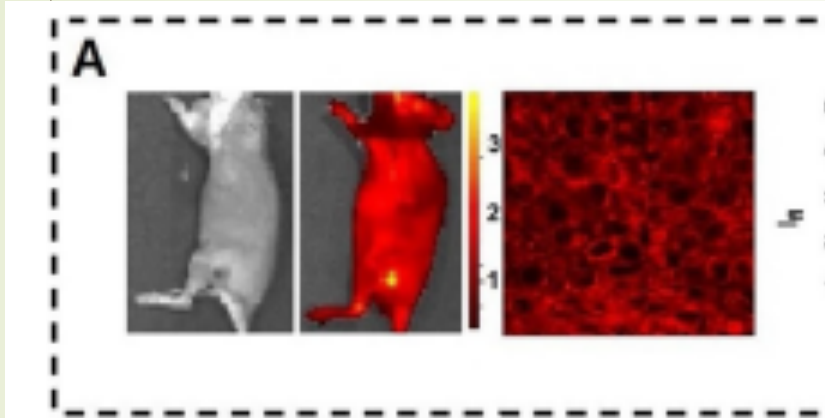
The aromatic groups variation as the efficient tool for a fine tuning of the porphyrazine photophysical and cytotoxic properties

R	Q-band, nm	IC ₅₀ light, mol/l	IC ₅₀ dark, mol/l	IC ₅₀ dark / IC ₅₀ light	R	Q-band, nm	IC ₅₀ light, mol/l	IC ₅₀ dark, mol/l	IC ₅₀ dark / IC ₅₀ light
	575	3.7·10 ⁻⁶	1.1·10 ⁻⁵	3.3		593	1.1·10 ⁻⁶	1.3·10 ⁻⁵	12
	580	3·10 ⁻⁶	1.4·10 ⁻⁵	4.7		593	2.7·10 ⁻⁶	3·10 ⁻⁵	11
	580	3.8·10 ⁻⁶	1.3·10 ⁻⁵	3.4		591	3.5·10 ⁻⁶	2.5·10 ⁻⁵	7
	610	1.5·10 ⁻⁷	6.8·10 ⁻⁶	45			4.6·10 ⁻⁶	8.5·10 ⁻⁵	18
	600	1.9·10 ⁻⁶	8.5·10 ⁻⁵	45		590	4·10 ⁻⁷	2.5·10 ⁻⁵	62.5
	594	4·10 ⁻⁷	2.3·10 ⁻⁵	57.5		594	4.3·10 ⁻⁶	1.1·10 ⁻⁵	2.6
	592	1.4·10 ⁻⁷	9.5·10 ⁻⁶	68		580	2.8·10 ⁻⁷	3.7·10 ⁻⁵	132
	608, 580	1.1·10 ⁻⁶	2·10 ⁻⁴	182		610	1.5·10 ⁻⁷	1·10 ⁻⁵	67
	630	1·10 ⁻⁶	1.5·10 ⁻⁴	150		585	2.2·10 ⁻⁶	8.2·10 ⁻⁵	37

R	Q-band, nm	IC ₅₀ light, mol/l	IC ₅₀ dark, mol/l	IC ₅₀ dark / IC ₅₀ light	R	Q-band, nm	IC ₅₀ light, mol/l	IC ₅₀ dark, mol/l	IC ₅₀ dark / IC ₅₀ light
	579	8·10 ⁻⁷	6.9·10 ⁻⁶	8.6		595	1·10 ⁻⁶	4.5·10 ⁻⁵	45
	604	9·10 ⁻⁷	3.6·10 ⁻⁶	4		587	4.9·10 ⁻⁷	2.9·10 ⁻⁵	59.2
	586	2.4·10 ⁻⁶	1.1·10 ⁻⁵	4.6		592	2.7·10 ⁻⁷	1·10 ⁻⁵	37
	576	1.3·10 ⁻⁶	2.1·10 ⁻⁵	16.2		594	1.2·10 ⁻⁶	5.2·10 ⁻⁵	43
	576	2.4·10 ⁻⁶	1.2·10 ⁻⁵	5		593	1.7·10 ⁻⁶	4.1·10 ⁻⁵	24.1
	580	2·10 ⁻⁶	1.1·10 ⁻⁵	5.5		591	3.6·10 ⁻⁶	4.3·10 ⁻⁵	11.9
	579	2.5·10 ⁻⁶	2·10 ⁻⁵	8		594	5.9·10 ⁻⁶	3.4·10 ⁻⁵	5.8
	577	8.8·10 ⁻⁷	6.6·10 ⁻⁶	7.5		596	8·10 ⁻⁶	1.9·10 ⁻⁴	23.8

Porphyrazines as photosensitizers for PDT in animal tumor model (mice Balb/c).

CT26 murine colon carcinoma cell line was used to obtain the tumor model. Irradiation with a 640-nm LED light source, dose 150 J/cm² (A)



A histogram of growth dynamics of the tumour node volume *in vivo* in mouse models subjected to PDT treatment in control and experimental groups



B – animal tumor model before PDT with porphyrazine

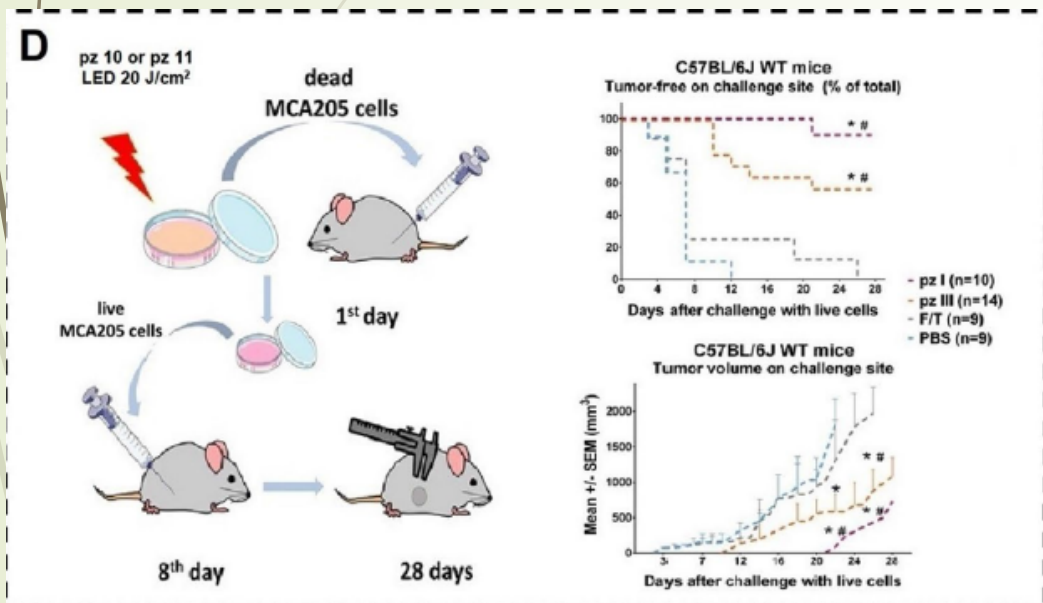
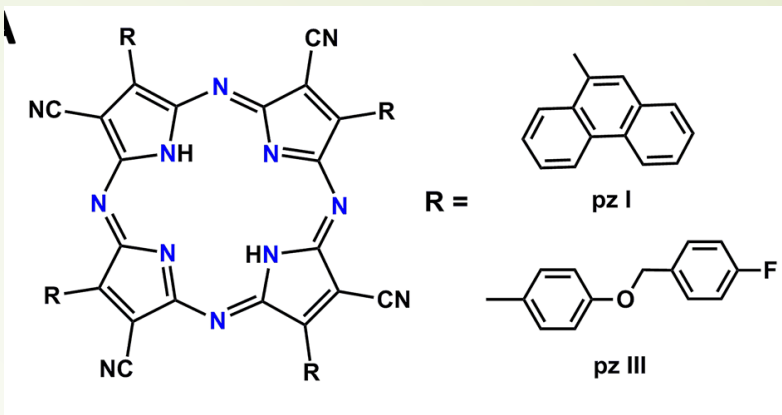


C – animal tumor model in 8 days after PDT with porphyrazine



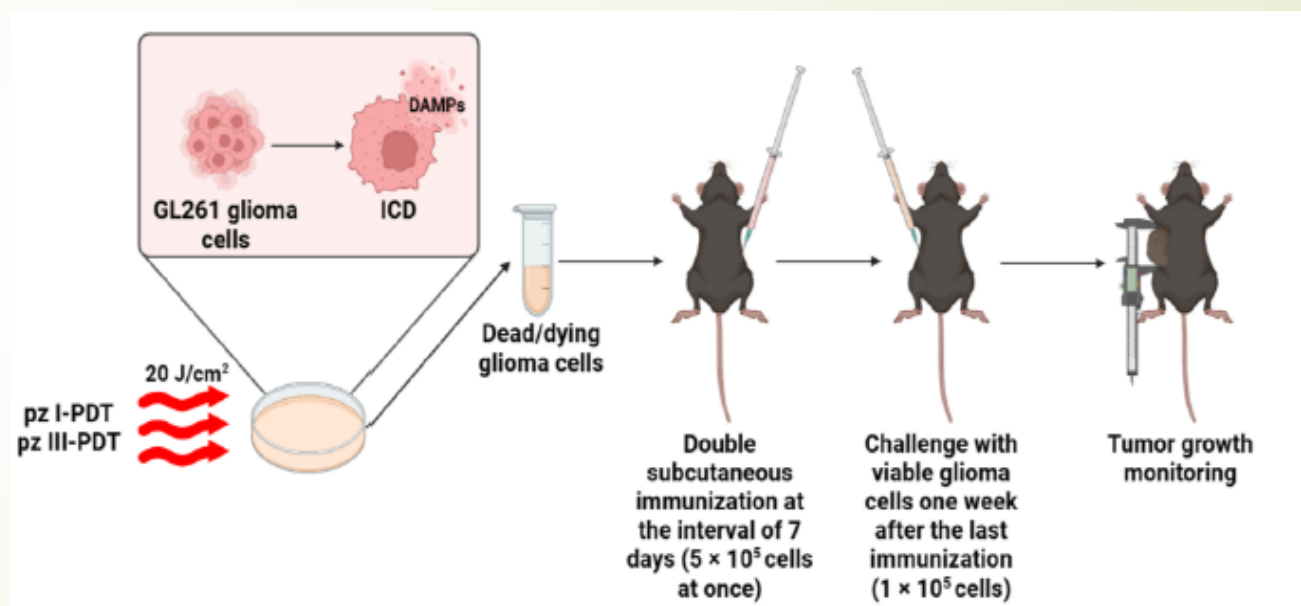
Novel porphyrazine-based photodynamic anti-cancer therapy induces immunogenic cell death

Effective prophylactic vaccines that activated anti-tumor immunity, significantly reduced the rate of tumor growth, prolonged mouse survival,



Turabanova VD, et al «*Novel porphyrazine-based photodynamic anticancer therapy induces immunogenic cell death.*»

Sci Rep 2021 Mar 30;11(1):7205.



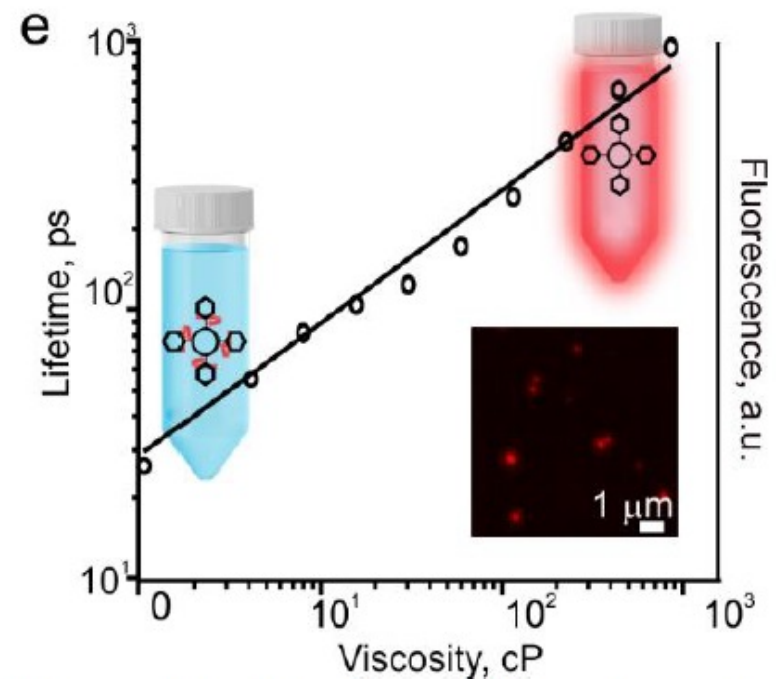
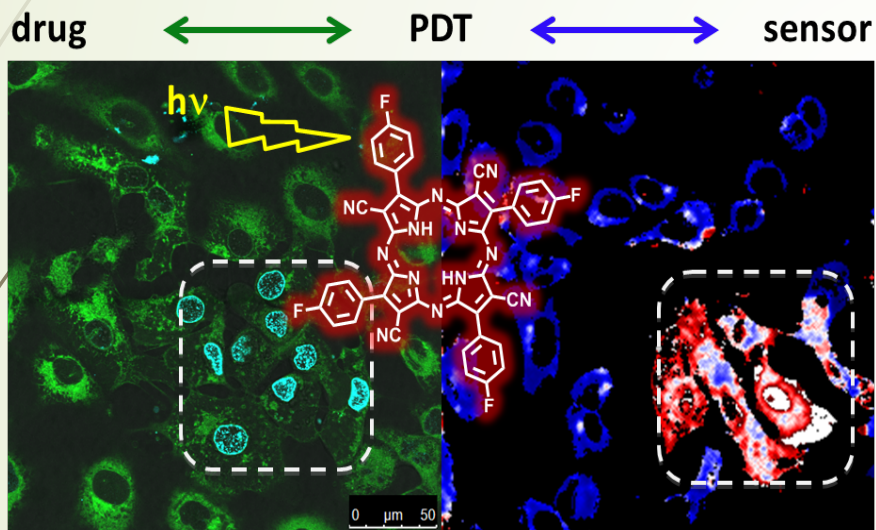
T.S.Redkin et al “*Dendritic Cells Pulsed with Tumor Lysates Induced Tetracyanotetra(aryl)porphyrazines-Based Photodynamic Therapy Effectively Trigger Anti-Tumor Immunity in an Orthotopic Mouse Glioma Model*” **Pharmaceutics** 2023, 15, 2430.
<https://doi.org/10.3390/pharmaceutics15102430>

CYANO-ARYL PORPHYRAZINES (pz) AS THE NEW FLUORESCENT MOLECULAR ROTORS

$$\log \phi = z + \alpha \log \eta$$

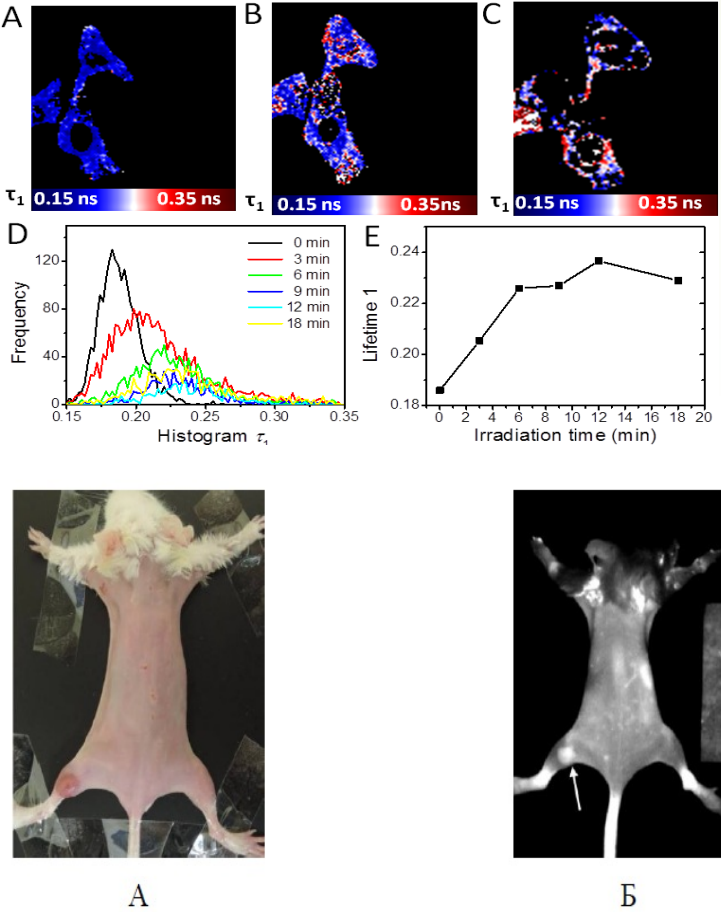
$$\log \tau = z + \alpha \log \eta$$

Förster-Hoffman equations

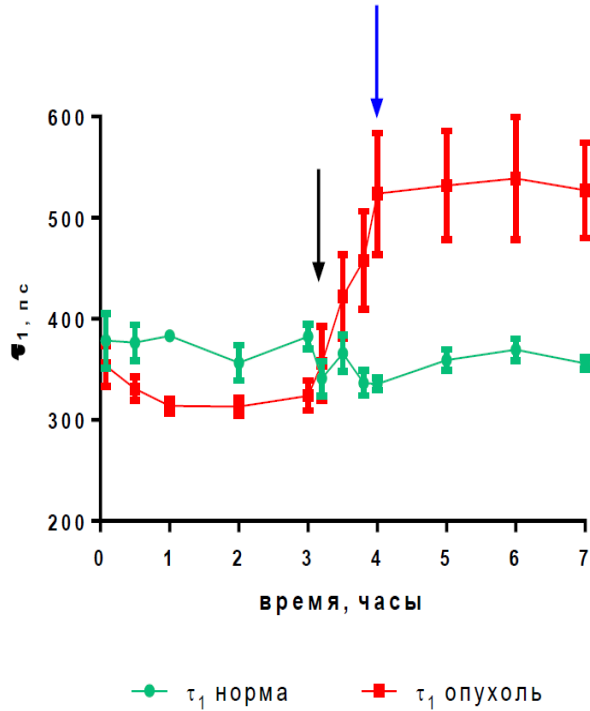


Plot of the pz fluorescence lifetime (left y-axis) and intensity (right y-axis) versus solution viscosity. Left and right insets illustrate pz solution in a tube exhibiting faint (low viscosity media) and bright (high viscosity media) fluorescence upon the excitation in low- and high-viscosity micro-environments, respectively.

Real time monitoring of PDT *in vitro* and *in vivo* with porphyrzine as photosensitizer and optical viscosity sensor

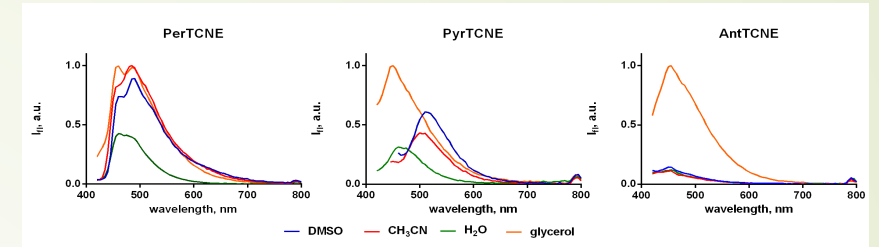
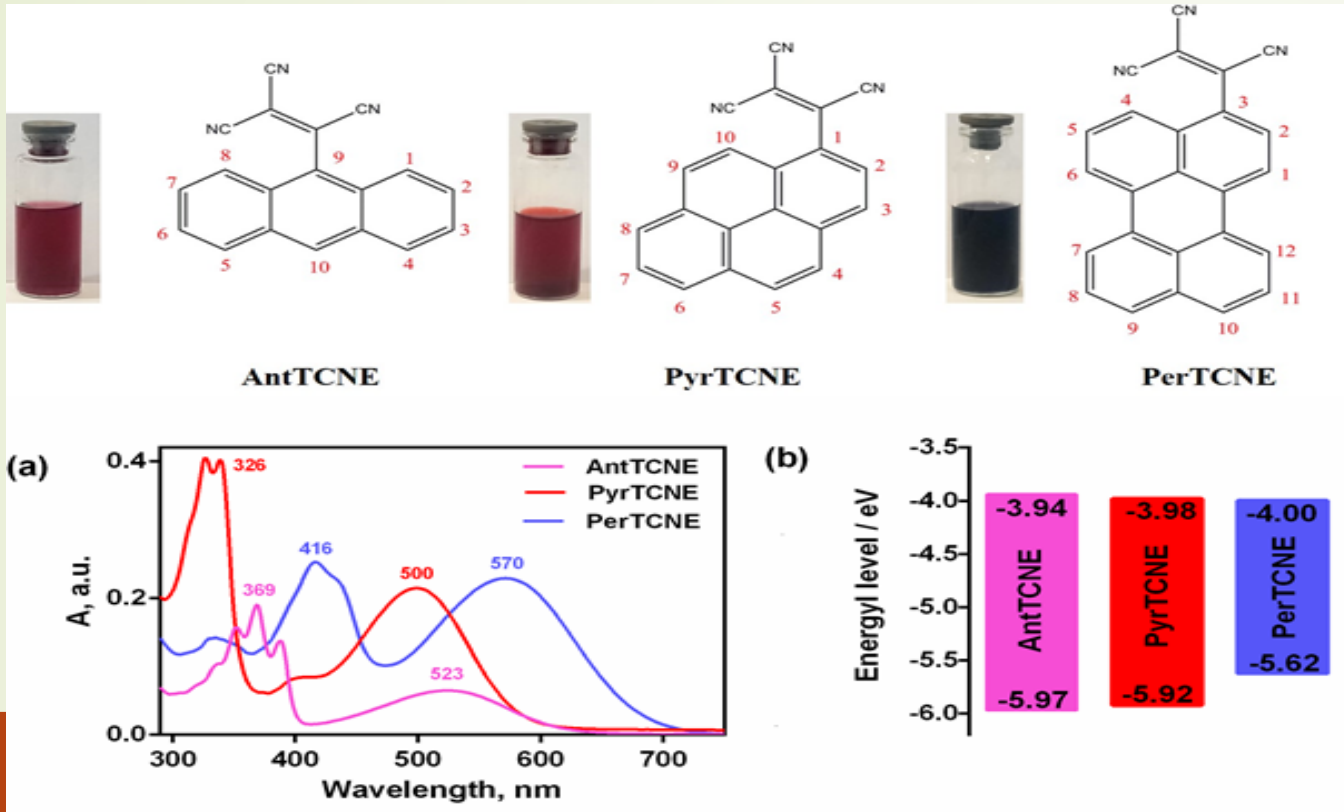


СПОСОБ ФОТОДИНАМИЧЕСКОЙ ТЕРАПИИ С КОНТРОЛЕМ ЭФФЕКТИВНОСТИ В РЕЖИМЕ РЕАЛЬНОГО ВРЕМЕНИ



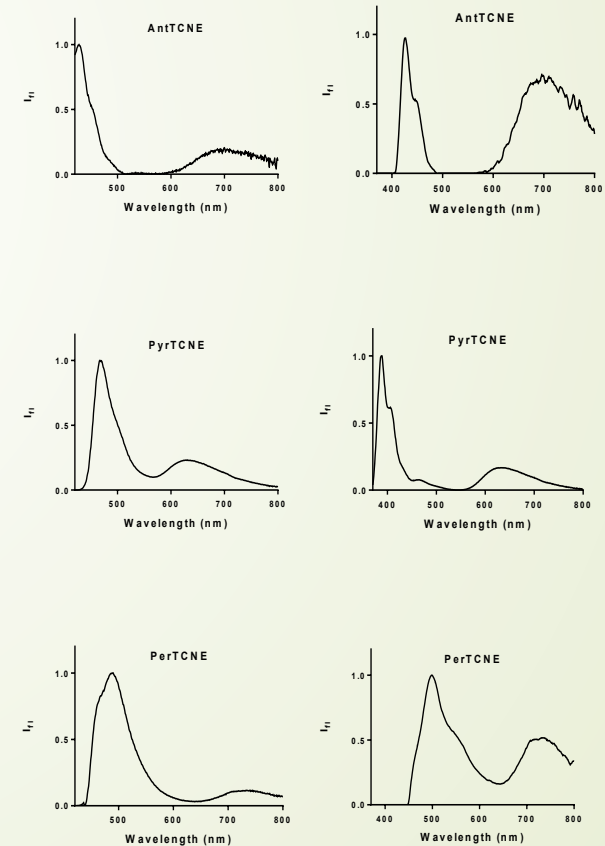
Plot of porphyrzine fluorescence lifetime (τ_1) VS observation time in normal tissue (green line) and tumor tissue (red line).

New pigments based on aromatic polycyclic hydrocarbons substituted with tricyanoethylene fragments



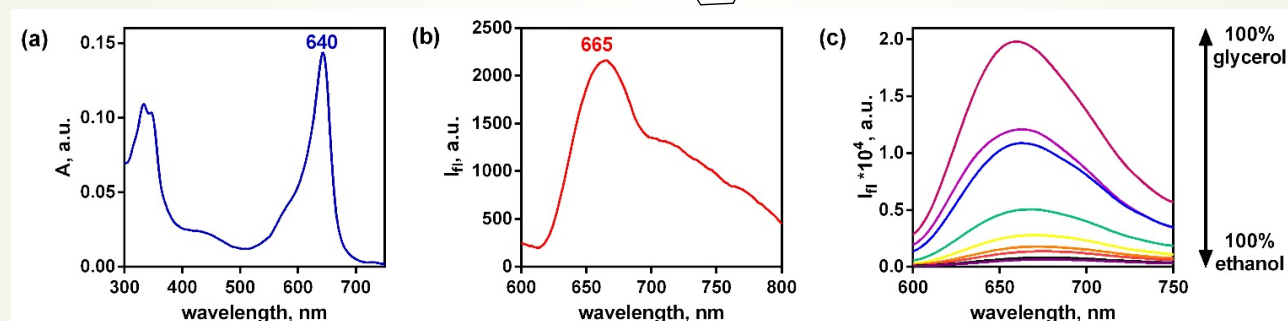
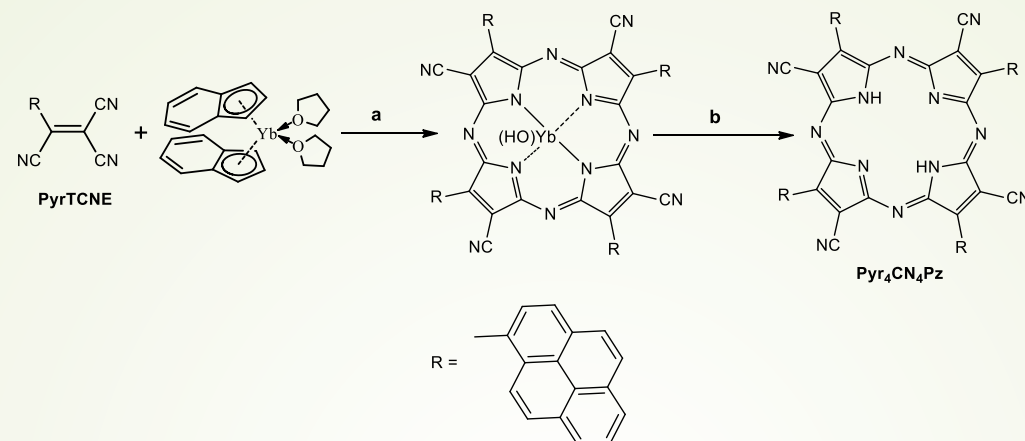
Emission spectra in the different solvents **AntTCNE**, **PyrTCNE** and **PerTCNE**

(10⁻³ mol/L), λ_{exc} = 350 nm (b), λ_{excit} = 400 nm (c).



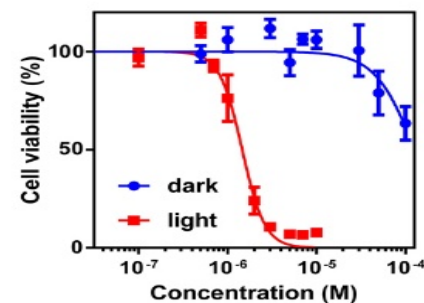
Emission spectra of **AntTCNE**, **PyrTCNE** and **PerTCNE** in non-polar low viscosity solvent (toluene) (10⁻³ mol/L), λ_{excit} = 350 nm (on the right), λ_{excit} = 400 nm (on the left).

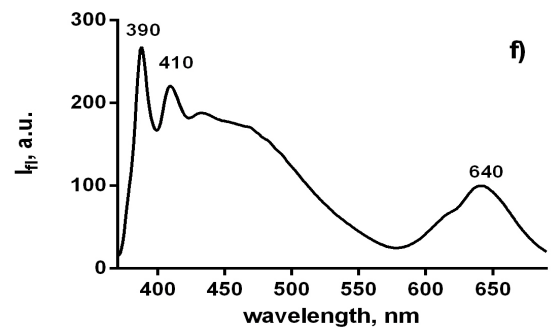
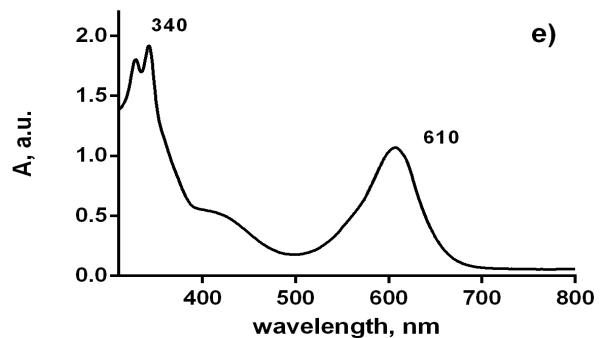
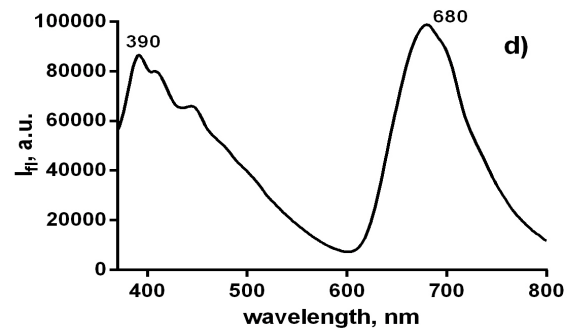
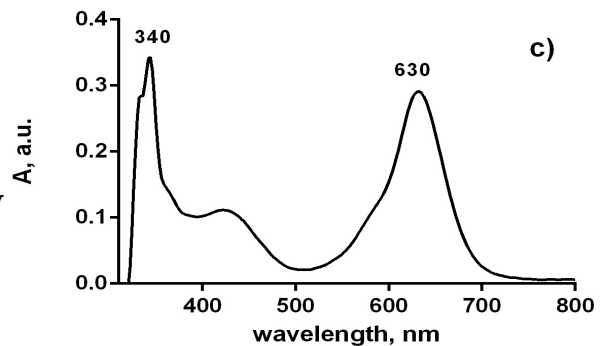
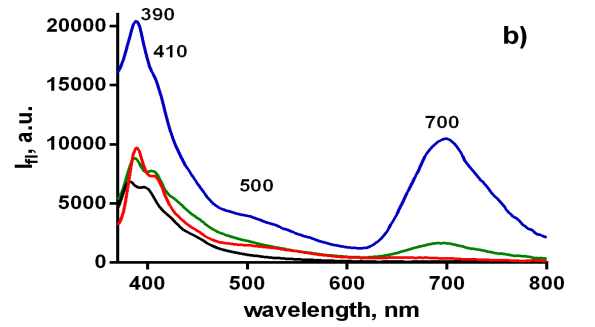
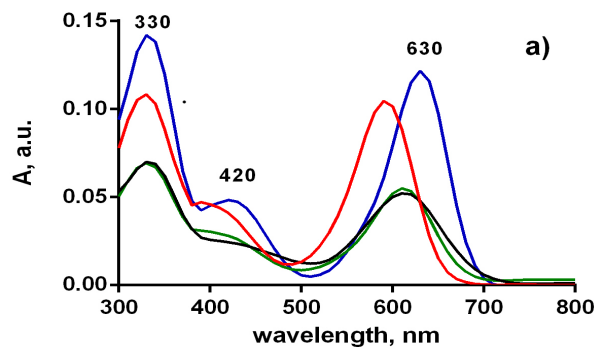
Template assembling of the new cyanoaryl porphyrazine framework based on PyrTCNE as the structural unite of a tetrapyrrole macrocycle



Absorption (a), fluorescence (b) spectra of **Pyr₄CN₄Pz** ($\lambda_{\text{excit}} = 580 \text{ nm}$) in water ($5 \times 10^{-6} \text{ mol/L}$). Emission of **Pyr₄CN₄Pz** (10^{-6} mol/L) in the mixtures of ethanol and glycerol (c).

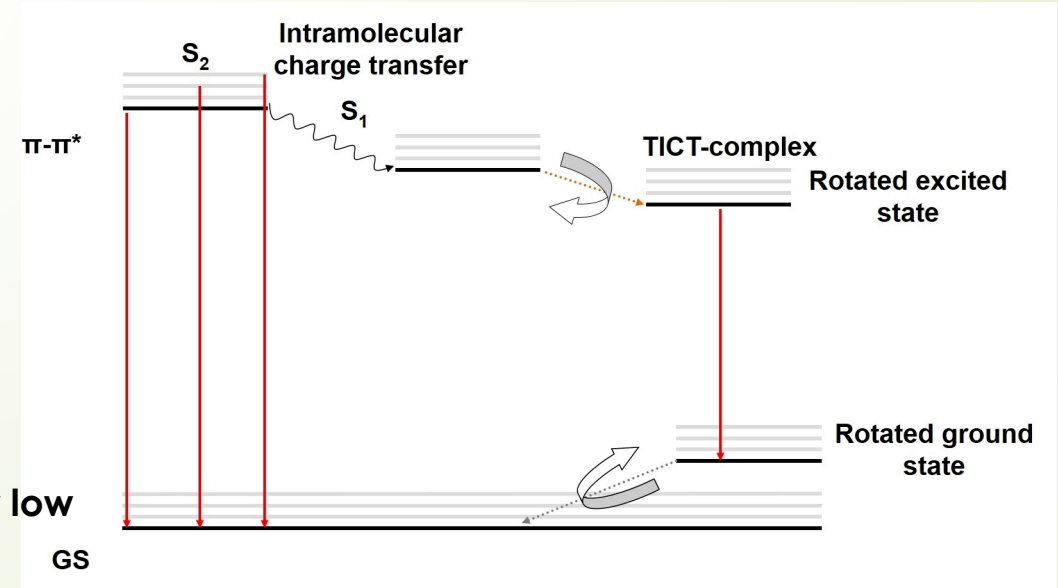
$IC_{50} \text{ light} = 1.0 \times 10^{-6} \text{ mol/l}$
 $IC_{50} \text{ dark} = 1.5 \times 10^{-4} \text{ mol/l}$
 $IC_{50} \text{ dark} / IC_{50} \text{ light} = 130$



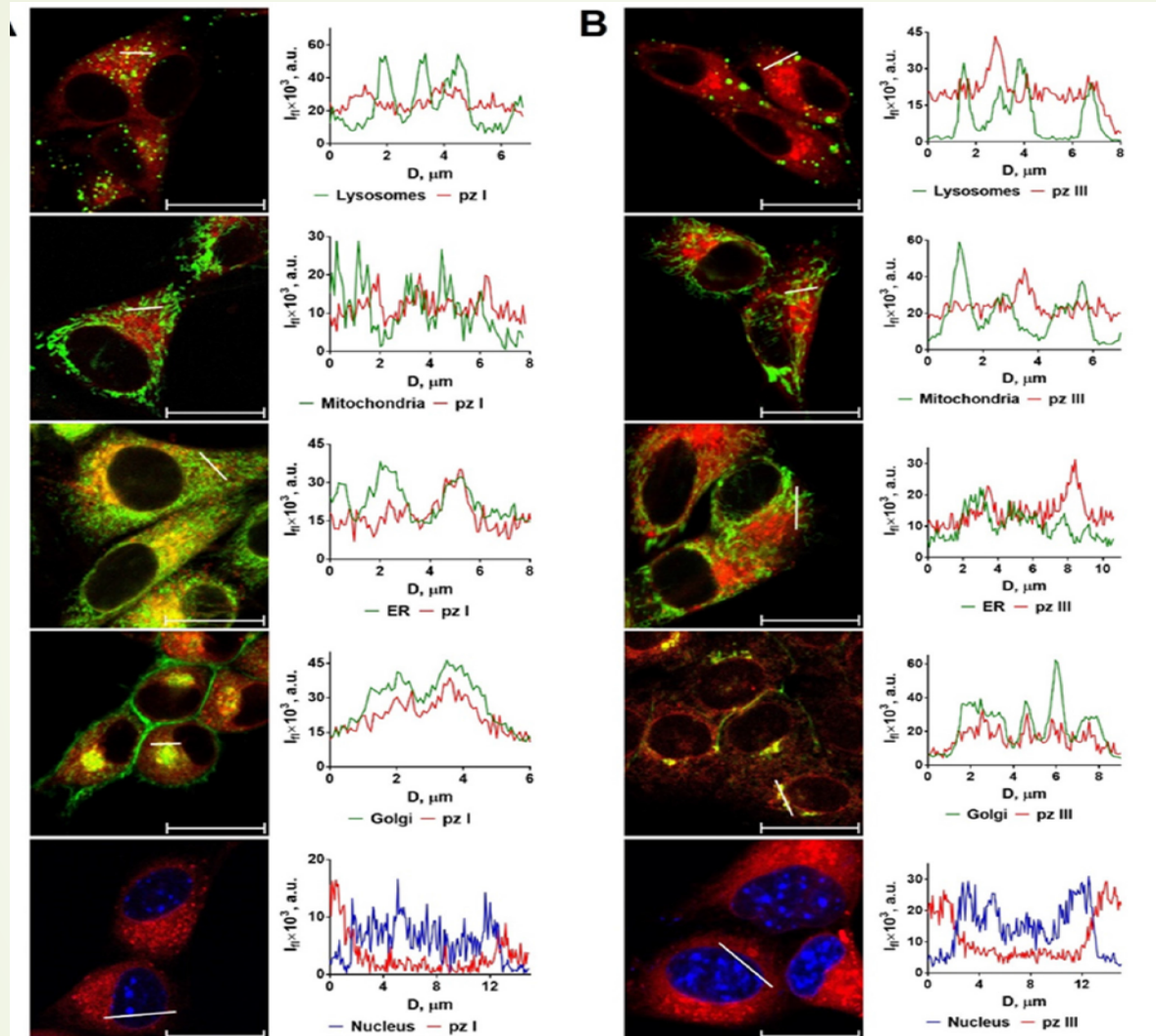


Fluorescence quantum yield of **Pyr₄CN₄Pz** in the different solvents (η - viscosity, ϵ - dielectric constant **LW**-long wave, **SW**- short wave)

Solvent	η (cP)	ϵ	Φ_f	
			LW	SW
Castor oil	1079	4.7	0.360	0.480
CH ₃ Ph	0.59	2.4	0.066	0.129
THF	0.55	7.5	0.030	0.168
CH ₃ CN	0.37	37.0	0.002	0.043
Water	1.00	80.0	0.007	0.398



Jablonski diagram demonstrating proposed photophysical mechanism of DE for Pyr₄CN₄Pz and PerTCNE in a non-polar low viscosity medium. GS –ground state, $\pi - \pi^*$ - high lying transition state. ICT –intramolecular charge transfer, TICT- twisted intramolecular charge transfer.



Confocal images of the intracellular spatial distribution of pz I (A) and pz III (B) in glioma GL261 cells. Pz I and pz III are localized predominantly in the Golgi apparatus and partially in the ER after 4 h of incubation. Importantly, pz I and pz III were not detected in mitochondria, lysosomes, or nucleus.

Заключение

1. Открыта принципиальная возможность быстрой темплатной сборки порфиразинового макроцикла при комнатной температуре;
2. Полученные цианоарильные порфиразины демонстрируют:
 - (а) высокую эффективность в качестве фотосенсибилизаторов ФДТ и триггеров иммуногенного механизма смерти раковых клеток;
 - (б) сочетание возможностей эффективных терапевтических агентов с уникальными для тетрапиррольных макроциклов сенсорными способностями- высокой чувствительностью флуоресцентных свойств к локальной вязкости и полярности среды
3. Цианоарилпорфиразины как потенциальные неинвазивные флуоресцентные сенсоры представляют значительный интерес в широком диапазоне практических приложений от оптоэлектроники и фотоники до биомедицины и диагностики

Потенциальное применение порфиразинов с D-π-A структурой обрамления макроцикла в

ACKNOWLEDGMENT

IOMC RAS



Svetlana Lermontova



Ilya Grigoriev

Imperial College London UK, Dr M.Kuimova group



Nizhny Novgorod State University

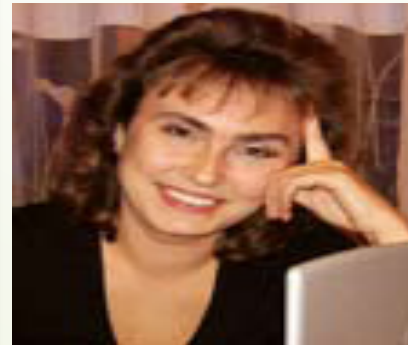


Natalia Shilyagina



Irina Balalaeva

Nizhny Novgorod State Medical Academy



Elena Zagainova

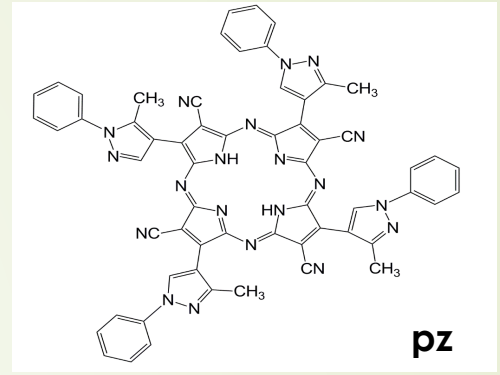
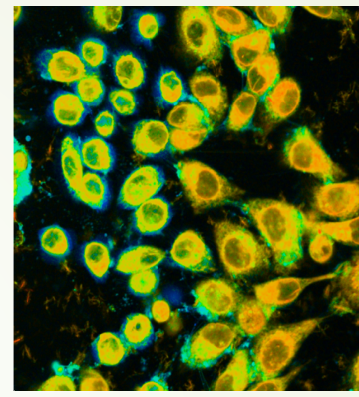
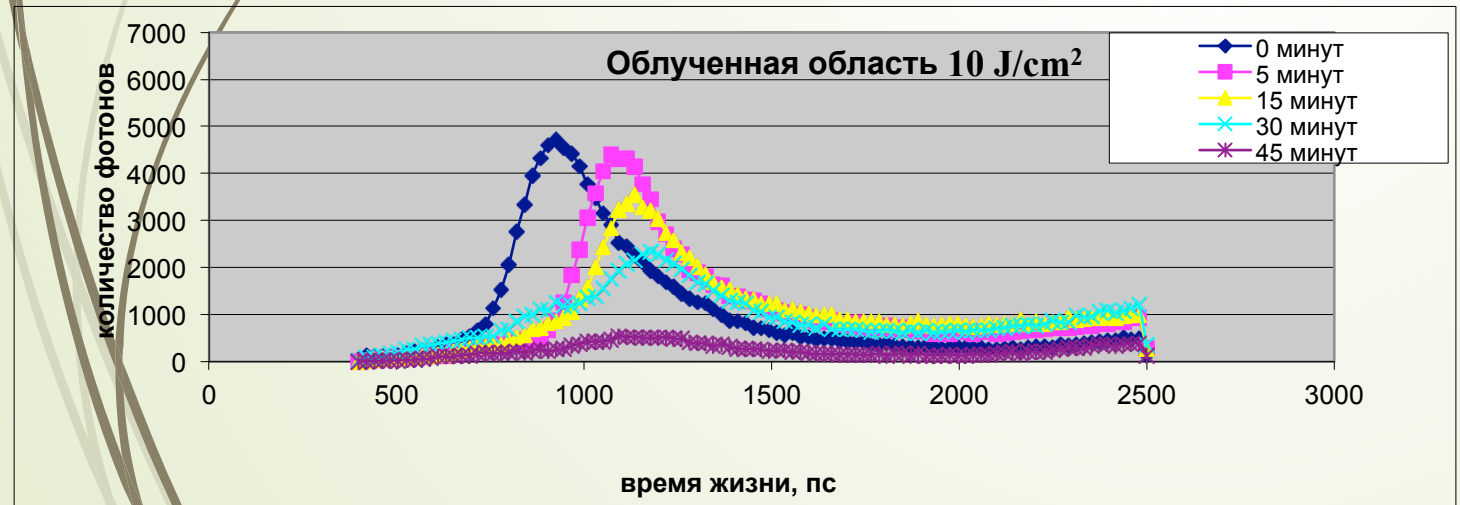
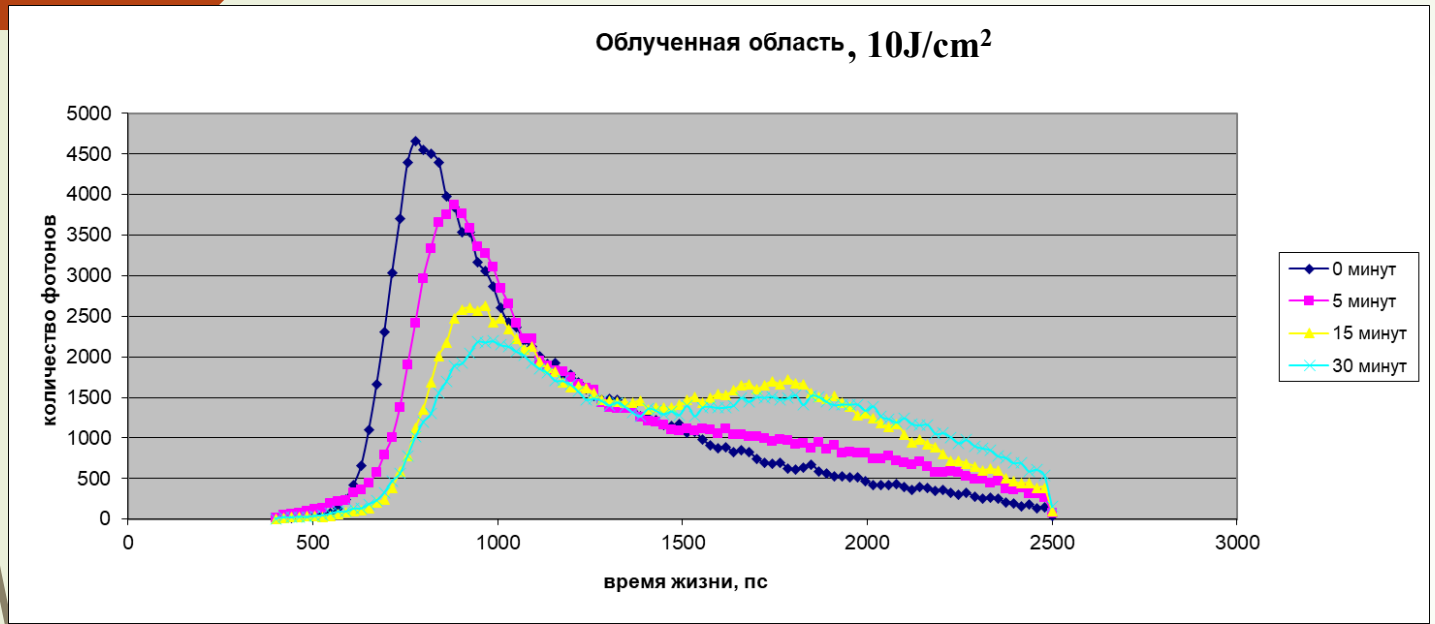
✘ The image cannot be displayed. Your computer may not have enough memory to open the image, or the image may have been corrupted. Restart your computer, and then open the file again. If the red x still appears, you may have to delete the image and then insert it again.

Diana Yuzhakova



Marina Shirmanova

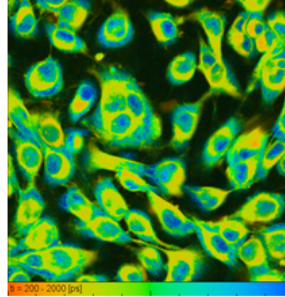
Время-разрешенный имиджинг (FLIM) для pz в процессе ФДТ *in vitro* (A 431)



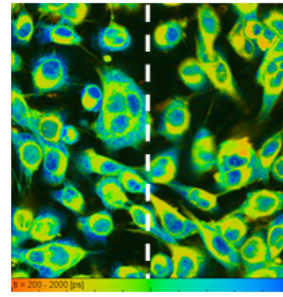
Время-разрешенный имиджинг (FLIM) для pz в процессе ФДТ in vitro (A 431)

para-fluorine phenyl pyrrole substituted Pz

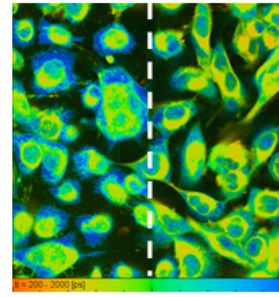
10 Дж/см²



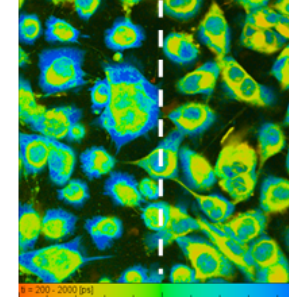
до облучения



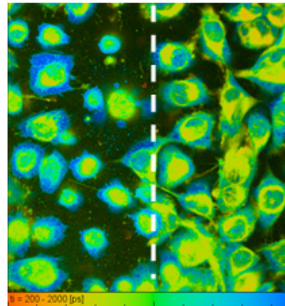
1 минут



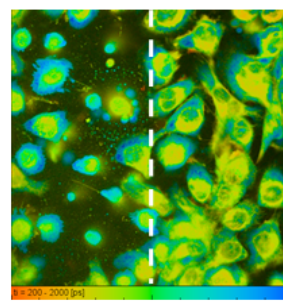
5 минут



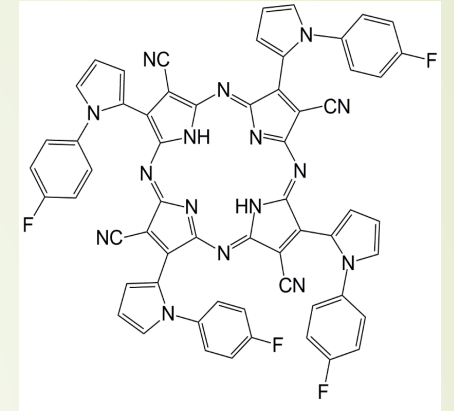
15 минут



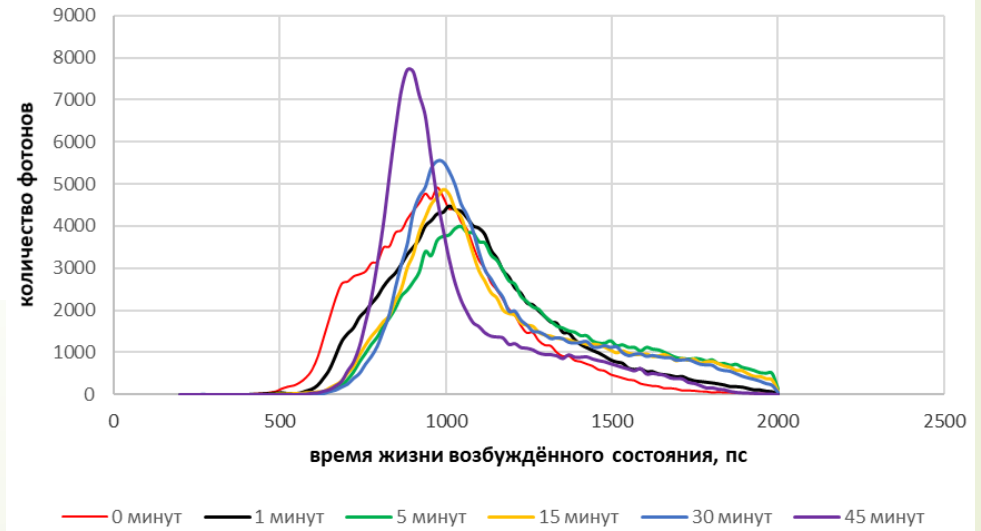
30 минут



45 минут



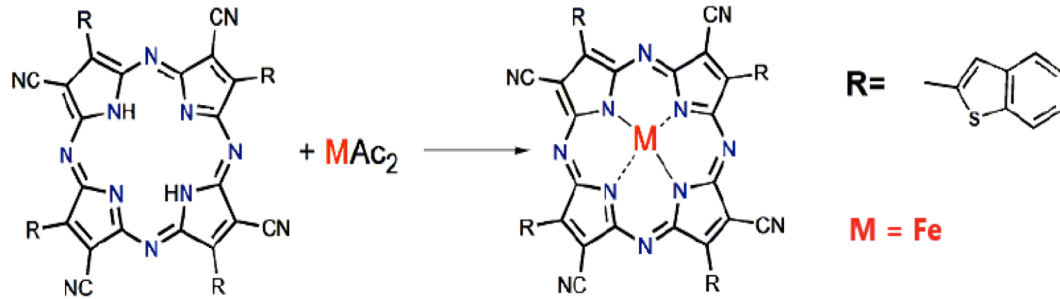
Облученная область, 10 Дж/см²



Исследование влияния центрального катиона металла с переменной валентностью (FeII) на фотофизические свойства цианоарил порфиразинов

FezBenzoThioph, 20 Дж/см

Оценка темновой и световой (10 и 20 Дж/см²) токсичности металлокомплекса порфиразина - тетра(бензотиофен-2-ил)тетрацианопорфиразинат железа (FezBenzoThioph).



Значения IC₅₀ для FezBenzoThioph

Число клеток в лунке	IC ₅₀ , M, темнота	IC ₅₀ , M, 10 Дж/см ²	IC ₅₀ , M, 20 Дж/см ²	IC ₅₀ темнота/IC ₅₀ 10Дж/см ²	IC ₅₀ темнота/IC ₅₀ 20Дж/см ²
4000	~10 ⁻⁴	3.4*10 ⁻⁸	4.4*10 ⁻⁸	2941	2273

Таблица 1. Распределение FezBenzoThioph в клетках A431 по времени жизни возбужденного состояния. Метод FLIM. Длина волны возбуждения 800 нм, диапазон регистрации сигнала 640–710 нм. Показаны изображения до и после облучения части области зрения в дозе 20 Дж/см², обозначенной пунктиром. Псевдоцветная палитра представлена в диапазоне от 400 до 1200 пс

